



تأثیر پیش کرنش و موقعیت سیم آلیاژ حافظه دار بر خواص کمانشی کامپوزیت الیاف-فلز هوشمند

محمد رضا محاسب کریملو^۱، رضا اسلامی فارسانی^{۲*}

۱- کارشناس ارشد، مهندسی مکانیک، دانشگاه آزاد اسلامی واحد تهران جنوب، تهران

۲- دانشیار، مهندسی مواد، دانشگاه صنعتی خواجه نصیرالدین طوسی، تهران

* تهران، صندوق پستی ۱۹۳۹۵-۱۹۹۹

چکیده

امروزه کامپوزیت‌های لایه‌ای الیاف-فلز به واسطه دارا بودن خواص مکانیکی خوب و وزن کم، مورد توجه قرار گرفته‌اند. بکارگیری آلیاژ حافظه دار در کامپوزیت‌های الیاف-فلز موجب می‌شود که این آلیاژها بتوانند تحت بارگذاری سیکلی، از طریق ایجاد حلقه برگشت پذیر هیسترزیس، انرژی مکانیکی را جذب یا تلف کنند و باعث بهمود مقاومت در برابر ناپایداری‌های کمانشی کامپوزیت شوند. در این پژوهش، تأثیر افزایش پیش‌کرنش و همچنین اثر قرارگیری سیم آلیاژ حافظه دار در لایه‌های دور و نزدیک نسبت به تار خنثی الیاف-فلز، تحت کمانش استاتیکی، بررسی شد. کامپوزیت‌های الیاف-فلز شامل رزین اپوکسی و الیاف شیشه و آلیاژ آلومنیوم 2024-T3 بودند. برای بررسی اثر پیش‌کرنش سیم‌های حافظه دار، پیش‌کرنش‌های الیاف-فلز شامل رزین اپوکسی و الیاف شیشه و آلیاژ آلومنیوم 2024-T3 بودند. برای بررسی اثر پیش‌کرنش سیم‌های حافظه دار، پیش‌کرنش‌های ۱، ۲ و ۳ درصد با تعداد ثابت ۶ سیم در این کامپوزیت‌ها مورد آزمایش قرار گرفتند. همچنین به منظور بررسی محل قرارگیری سیم‌ها، تعداد ۴ سیم با پیش‌کرنش ثابت ۳ درصد، در لایه‌های دور و نزدیک نسبت به تار خنثی، استفاده شد. نتایج نشان داد که افزایش پیش‌کرنش به دلیل ایجاد کشش بیشتر سیم‌های حافظه دار در حین ساخت نمونه‌ها و تمایل سیم‌ها برای بازگشت به شکل اولیه خود در حین آزمون، سازه را در برابر بار فشاری، مقاوم تر و پایدارتر می‌سازد. همچنین قرارگیری سیم‌ها در لایه‌های دور از تار خنثی نسبت به حالات نزدیک به تار خنثی، به دلیل تأثیر بیشتر مقاومت در برابر خشم ایجاد شده در حین کمانش و اثر خاصیت بازگشت پذیری بهتر سیم‌های حافظه دار، موجب افزایش مقاومت در برابر ناپایداری و حد تحمل بار بیشتر در کامپوزیت‌های الیاف-فلز شدند.

اطلاعات مقاله

مقاله پژوهشی کامل

دریافت: ۱۶ شهریور ۱۳۹۶

پذیرش: ۳۰ مهر ۱۳۹۶

ارائه در سایت: ۰۶ آذر ۱۳۹۶

کلید واژگان:

کامپوزیت لایه‌ای الیاف-فلز هوشمند

سیم آلیاژ حافظه دار

کمانش

پیش‌کرنش

Influence of pre-strain and position of shape memory alloy wire on buckling properties of smart fibers metal composite

Mohammadreza Mohaseb Karimlou¹, Reza Eslami-Farsani^{2*}

1- Department of Mechanical Engineering, South Tehran Branch, Islamic Azad University, Tehran, Iran

2- Faculty of Materials Science and Engineering, Kajeh Nasiraldin Toosi University of Technology, Tehran, Iran

* P. O. Box 19395-1999, Tehran, Iran, eslami@kntu.ac.ir

ARTICLE INFORMATION

Original Research Paper

Received 07 September 2017

Accepted 22 October 2017

Available Online 27 November 2017

Keywords:

Smart fiber metal laminate composite

Shape memory alloy wire

Buckling

Pre-strain

ABSTRACT

Today fiber metal laminates (FMLs) by having good mechanical properties and low weight have been attention. The use of shape memory alloy (SMA) in the FMLs causes these alloys, under mechanical cyclic loading, by creation reversible hysteresis loop, can absorb or waste mechanical energy and causes amelioration of resistance against buckling instabilities of FMLs. In this study, the effect of increasing pre-strain and embedment SMA wire in far and near layers to neutral axis of FML, under static buckling were investigated. FMLs were contained epoxy resin and glass fibers and 2024-T3 Aluminum alloy. To investigate effect of pre-strain of SMA, the pre-strain of 1, 2 and 3 percent with fixed quantity 6 wires in these FMLs were tested. Due to investigate the position of embedment, the quantity of 4 wires with fixed 3% pre-strain, in far and near layers to neutral axis, are used. The results showed that the increase of pre-strain due to creation more tension of SMA during the fabrication of the specimens and the tendency of wires to return to its original shape during the test makes the structure more resistant against pressure loading. Also, the wires were placed in layers far from the neutral axis of the specimen as compared to near the neutral axis due to the greater effect of the bending resistance of the specimen during the buckling and the effect of the better return properties of SMA wires, causes to increasing resistance against instability and load tolerance limit in FMLs.

- مقدمه ۱

مستحکم شده‌اند، در جهت تولید ساختارهای کم وزن با مقاومت خمشی و مقاومت کمانش زیاد کاربرد زیادی دارد [۱].

کامپوزیت‌های لایه‌ای الیاف-فلز^۱ از چسباندن لایه‌های فلزی و کامپوزیتی

^۱ Fiber Metal Laminate

Please cite this article using:

M. Mohaseb Karimlou, R. Eslami-Farsani, Influence of pre-strain and position of shape memory alloy wire on buckling properties of smart fibers metal composite, *Modares Mechanical Engineering*, Vol. 17, No. 11, pp. 429-436, 2018 (in Persian)

در صنعت هواپیما، مساله کاهش وزن در سازه‌های حساس، موضوعی بسیار چالش برانگیز می‌باشد زیرا این امر منجر به کاهش هزینه‌ها می‌گردد. در این صنعت، استفاده از صفحاتی که بصورت لایه‌ای ساخته شده و با مواد تقویتی

برای ارجاع به این مقاله از عبارت ذیل استفاده نمایید:

حافظه دار می باشد، 3- گشتاور واکنشی القا شده توسط نیروی بازیابی شکلی، 4- اثرات موقعیت تعییه شده سیم های حافظه دار در کامپوزیت.

وجود خواص فوق العاده ای مانند استحکام خمی زیاد و وزن مخصوص پایین در کامپوزیت های صفحه ای منجر به استفاده هی گستره از این مواد در سازه های صنعت هوا فضا (که در آنها نسبت استحکام به وزن بالا مورد نیاز است)، شده است. به منظور کاهش وزن هوا پیمایها، از کامپوزیت های صفحه ای بعنوان جایگزین مناسبی برای فلزات سنتی در بدنه ای بال ها، استفاده می شود. بدنه ای هوا پیمایه ای پرسرعت نه تنها تحت تأثیر نیروهای آبرو دینامیکی قرار می گیرند، بلکه تحت گرمایش آبرو دینامیکی نیز می باشند. افزایش دمای ایجاد شده ممکن است منجر به ایجاد کمانش در پوسته بدن و کاهش ظرفیت تحمل بار گردند. از آلیاژ های حافظه دار شکلی می توان بصورت متصل شده به کامپوزیت های صفحه ای استفاده نمود و ظرفیت تحمل بار را در آنها بهبود بخشید [8].

اولین بار باز و چن [9]، به بررسی امکان سنجی در خصوص استفاده از فعال کننده های آلیاژ حافظه دار به منظور کنترل فعل کمانش و خصوصیات کمانش جانبی در تیرهای کامپوزیتی انعطاف پذیر پرداختند. در مطالعه آنها، سیم های آلیاژ حافظه دار شکلی در راستای صفحه میانی این تیرها جایگذاری شدند. رو و باز [10] در زمینه خصوصیات استاتیکی و رفتار کمانش صفحات کامپوزیتی تقویت شده با الیاف شیشه تقویت شده با سیم حافظه دار نیتینیول تحقیق کردند. سیم های نیتینیول از قبل تحت تنش قرار گرفته و برای ایجاد نیروی مورد نیاز برای بازیابی فازی، فعل شدند. باز و تمپ [11] نشان دادند که پایداری تیرهای نازک را می توان با استفاده از فعل کننده های آلیاژ های حافظه دار بهبود بخشید. تامپسون و لوقلان [12] با استفاده از نیروهای ترمیمی ایجاد شده توسط سیم های آلیاژ حافظه دار، توانستند رفتار فرآکمانش را در ساختارهای صفحه ای تحت تأثیر نیروهای تک محوره تقویت کنند. تحقیقات آنها نشان داد که با استفاده از درصد حجمی کوچکی از فعل کننده ها می توان جابجایی های خارج از صفحه ای را در صفحات تحت فرآکمانش به مقدار قابل ملاحظه ای کاهش داد.

در پژوهش تامپسون و لوقلان [12]، بهبود رفتار فرآکمانشی ساختارهای چند لایه ای صفحه ای با استفاده از روش های کنترل انطباقی به همراه تکنولوژی مواد هوشمند بررسی شد. رفتار انطباقی مذکور با استفاده از قرار دادن فعل کننده های آلیاژی هوشمند شکلی نیکل - تیتانیوم (از قبیل تحت کرنش قرار گرفته) درون نمونه های صفحه ای چند لایه ای پیش ساخته، مورد بررسی قرار گرفت و فعل کننده ها به میزان کافی مورد کشش قرار گرفته و دارای انرژی شدند [12].

در تحقیقی که چوبی و همکارانش در زمینه کمانش روی کامپوزیت های چند لایه ای تقویت شده با سیم حافظه دار پرداختند، هدف اصلی تحقیق را می توان به این صورت بیان نمود که جهت اطمینان از تأثیرات نیروی فعال سازی سیم های آلیاژ حافظه دار بر روی رفتار فرآکمانشی، این سیم ها برخلاف تحقیقات قبلی نه به یک تکیه گاه خارجی متصل شدند و نه درون یک غلاف قرار داده شدند. نکته دوم این است که در این تحقیق تأثیر خالص سیم های آلیاژ حافظه دار در رفتار کمانشی تیر کامپوزیتی صحه گذاری شده و بصورت کمی و کیفی توضیح داده شد. در نهایت، در این پژوهش بر مبنای آنالیزها و نتایج تجربی حاصله، فرمول های تئوری برای لحاظ کردن تأثیر سیم های آلیاژ حافظه دار بر روی کنترل فعل رفتار کمانشی (که منجر به ایجاد یک تغییر شکل کوچک قبل از ایجاد فرآکمانش می شود)، پیشنهاد شد [6].

متشكل از الیاف و رزین به هم ساخته می شوند. فلز به کار رفته اغلب، آلومینیوم است و الیاف به طور کلی بر اساس کارکرد مورد انتظار، الیاف آرامید، کربن یا شیشه هستند [2]. کامپوزیت های چند لایه آلومینیم تقویت شده با الیاف شیشه /اپوکسی¹ خواص منحصر به فردی از جمله مقاومت خستگی و خواص استاتیک خوب، مقاومت به ضربه عالی و حساسیت به ترک خوب برخوردار هستند [3].

برخی از عوامل مؤثر بر کمانش بر روی چند لایه های الیاف - فلز که برخی از آنها با کامپوزیت های چند لایه نیز مشترک می باشند، به شرح زیر است:

- تورق اولیه که می تواند به مسائلی چون خطای ساخت لایه ها، مهارت متصل کردن لایه ها به یکدیگر، ضربه وغیره وابسته باشد [4]، 2- چیدمان لایه های کامپوزیتی [5]، 3- شرایط مرزی، نوع و نحوه بارگذاری [6].
- در حال حاضر، بررسی رفتار مکانیکی خصوصاً آنالیز پایداری چند لایه های الیاف - فلز چه از لحاظ تئوری و چه عملی بسیار مورد توجه قرار گرفته است. همچنین به دلیل کاربرد گسترده این مواد، تحقیقات ارزشمند زیادی نیز در خصوص رفتارهای دیگر چند لایه های الیاف - فلز انجام شده است که رنگی بی و همکارانش نقش مؤثری را در این زمینه داشتند [7].

در تحقیق تجربی مرز و بورست [4] از تصاویر میکروسکوپ الکترونی برای دستیابی به مکانیزم شکست در سطح میانی استفاده شد و جهت تفسیر مدل تخرب سطح میانی بکار رفت. در این تحقیق، کمانش محلی و رشد جدایش در یک صفحه تحت نیروی فشاری محاسبه شده است. به نظر می رسد مدل حاضر، پایدار و صحیح باشد. همچنین مشاهده شد که چرمگی شکست در سطوح تماش، نقش مهمی در رفتار فرآکمانشی و پیشروی جدایش در مدل ایفا می کند [4] از آنجایی که هم کمانش و هم رشد جدایش به دست آمد، می توان برای آنالیز رفتار کامپوزیت های چند لایه آلومینیوم تقویت شده با الیاف شیشه /اپوکسی خاص تحت نیروی فشاری استفاده نمود. وجود تفاوت زیاد در واکنش ها نشان می دهد که مشخصات جدایش می تواند تأثیر زیادی بر روی سفتی فرآکمانش در صفحات داشته باشد. بنابراین شناسایی پارامترهای مواد در کامپوزیت های چند لایه آلومینیوم تقویت شده با الیاف شیشه /اپوکسی از اهمیت ویژه ای برخوردار است [4].

آلیاژ های حافظه دار شکلی²، مواد هوشمند و بی همتایی هستند که در بازه هی گسترده ای از ساختارهای هوشمند با انطباق پذیر بکار گرفته می شوند. به دلیل تغییر فاز حالت جامد (بدون نفوذ ماده و تحت تنش برشی) بین فازهای مارتنتزیت و آستنیت، این مواد می توانند خواص ترمومکانیکی ویژه ای از خود نشان دهند. در بسیاری از کاربردهای مهندسی، از آلیاژ های حافظه دار برای کنترل مشخصات ساختاری مانند ارتعاش، شکل و صلبیت سازه استفاده می شود. در روش های موفق، از فعل کننده های آلیاژ های حافظه دار بصورت متصل شده به لایه ها روی سطح و یا جاسازی شده در داخل ماتریس فلزی کامپوزیت استفاده شده است. هنگامی که یک جریان الکتریکی به فعل کننده ها اعمال می شود، در آنها گرمای مقاومتی ایجاد می شود که باعث بازیابی شکل و القای تنش های بزرگ و تغییر شکل در ماتریس می گردد. از طرفی با اضافه کردن آلیاژ حافظه دار به کامپوزیت های چند لایه، موارد زیر به طور عمومی از عوامل مؤثر بر رفتار کمانش این کامپوزیت ها خواهد شد [6].

- خصوصیات مکانیکی سیم حافظه دار که باعث افزایش حد تحمل بار بحرانی می گردد، 2- خصوصیت نیروی بازیابی شکلی، که وابسته به متغیرهای زیادی مانند پیش کرنش، کسر حجمی، دما، تنش و اثرات چرخشی سیم های

¹ Glass Laminate Aluminum Reinforced Epoxy

² Shape memory alloys

2-3- ساخت چند لایه های الیاف-فلز حاوی سیم آلیاژ حافظه دار

به منظور ساخت نمونه های چند لایه الیاف-فلز تقویت شده با سیم آلیاژ حافظه دار و اعمال پیش کرنش به سیم ها، قالب مناسب با نمونه ها، طراحی و ساخته شد که در شکل 2 نشان داده شده است. این قالب دارای دو صفحه بالایی و پایینی بود که توسط خارها و شیار هایی به منظور جلوگیری از لغزش چند لایه ها در هنگام پرس کاری، بر روی هم محکم شدند. به منظور اعمال پیش کرنش به سیم های آلیاژ حافظه دار، ابتدا سیم ها توسط یک گیره تحت کشش قرار گرفت و سپس به منظور جلوگیری از حرکت سیم ها، از طریق هادی هایی که بر روی قالب تعییه شدند، عبور کرده و در سمت دیگر قالب توسط گیره دیگر محکم بسته شدند.

برای ساخت چند لایه های الیاف-فلز از روش لایه گذاری دستی استفاده شد. ابتدا در بخش کامپوزیتی چند لایه های الیاف-فلز، به ازای هر 10 واحد رزین اپوکسی، یک واحد هاردنر با آن مخلوط شد و سپس از این مخلوط جهت چسباندن لایه های آلومینیوم و الیاف شیشه بر روی هم استفاده شد. فرآیند پخت نیز در دمای محیط انجام گرفت. به منظور اتصال مطلوب لایه فلزی با قسمت کامپوزیتی، سطح ورق های آلومینیوم با چربی زدایی اولیه و سپس ایجاد خراش به وسیله سمباده نرم و در نهایت استفاده از استون به منظور تمیز کاری سطوح، آماده سازی شدند. پس از قرار گیری سیم ها در چند لایه، ابتدا سیم ها در دمای محیط توسط اسپری نیتروژن، سرد و به فاز مارتزیت انتقال یافته و پس از اعمال پیش کرنش، توسط المنت حرارتی، به فاز آستینیت بردند. با گرم کردن سیم ها و تعابیل آن ها به کاهش طول (که از ماهیت فاز آستینیت است) و همچنین ممانعت چند لایه در برابر تغییر طول سیم ها، تنفس بازیابی در سیم بوجود می آید که منجر به ایجاد تنفس و افزایش سفتی چند لایه می شود. در نهایت قالب به همراه نمونه های چند لایه الیاف-فلز تقویت شده با سیم آلیاژ حافظه دار، داخل دستگاه پرس، تحت فرآیند پخت، در دمای محیط قرار گرفتند.

2-4- مشخصات نمونه های آزمایش

در شکل 3، نحوه قرار گیری سیم های آلیاژ حافظه دار در چند لایه های الیاف-فلز نشان داده شده است. خطچین ها در شکل 3، نشان دهنده محل تار خنثی در نمونه می باشند. با توجه به این که تار خنثی قسمتی از نمونه است که در اثر اعمال بار بر نمونه، تحت تأثیر کشش و فشار قرار نمی گیرد، چیدمان سیم های آلیاژ حافظه دار نسبت به تار خنثی نمونه (که همان مرکز ضخامت نمونه می باشد)، انجام شد. به منظور بررسی اثر موقعیت سیم های حافظه دار بر رفتار کمانشی چند لایه های الیاف-فلز، نمونه هایی با تعداد ثابت 4 سیم با پیش کرنش ثابت 3% و با قرار گیری سیم ها در لایه های دور و نزدیک



Fig. 2 Mould manufacturing of fiber metal laminate specimen

شکل 2 قالب ساخت نمونه چند لایه های الیاف - فلز

در راستای تحقیقات قبلی، در تحقیق حاضر، سیم های آلیاژ حافظه دار نیکل-تیتانیوم درون چند لایه های الیاف-فلز (آلومینیوم T3-2024/ کامپوزیت اپوکسی-لیاف شیشه) جایگذاری شده و اثر پیش کرنش های مختلف سیم های آلیاژ حافظه دار و همچنین تغییر در موقعیت قرار گیری سیم ها، بر رفتار کمانشی این چند لایه های الیاف-فلز بررسی شده است.

2- مواد و روش ها

2-1- مواد

در این پژوهش، قسمت کامپوزیتی چند لایه های الیاف-فلز شامل الیاف شیشه ای تک جهته و رزین اپوکسی اپون¹ 828 با هاردنر 10% بوده است. کسر حجمی الیاف و رزین نیز، هر کدام 50% می باشد. همچنین در قسمت فلزی این چند لایه ها از ورق آلومینیوم T3-2024 با ضخامت 0.5 میلی متر استفاده شد. آلیاژ حافظه دار (نیکل-تیتانیوم دما بالا) به صورت سیم و با قطر 0.4 میلی متر برای هوشمندسازی این چند لایه ها مورد استفاده قرار گرفت. به منظور تعیین دماهای استحاله سیم (دماهی شروع و پایان آستینیت و مارتزیت)، آزمون گرماستجی پویشی تفاضلی² انجام شد. دماهی استحاله فازی در سیم آلیاژ حافظه دار در جدول 1 آمده است.

2-2- دستگاه آزمون کمانش

دستگاه مورد استفاده برای آزمون کمانش نمونه های چند لایه الیاف-فلز، دستگاه هانسفیلد با قابلیت اعمال بار تا 25 kN بود (شکل 1). داده های دستگاه با استفاده از نیرو سنج تعییه شده بر فک بالایی متحرک، ثبت شد. نگهدارنده³ آزمون کمانش نیز مطابق با استاندارد ASTM C364-99 است. بر روی این دستگاه قرار گرفت. جهت انجام آزمایش، نمونه در میان وسط دو جیگ واقع در فک های بالایی و پایینی نگهدارنده، قرار گرفته و پیچ شدند. سپس جیگ ها توسط پیچ های بلندتری که با آن ها در گیر است، محکم شده و مانع از سر خوردن جیگ شدند، به طوری که نمونه از بالا و پایین کاملا گیردار و از لبه های جانبی آزاد بود. شکل 1 نمونه محکم شده در نگهدارنده متصل به دستگاه آزمون کمانش را نشان می دهد.

جدول 1 دماهای استحاله فازی در سیم آلیاژ حافظه دار

Table1 Phase transformation temperatures of shape memory alloy wire

استحاله مارتزیتی	استحاله مارکزیتی	استحاله آستینیتی	استحاله آستینیتی	دماهی شروع	دماهی پایان	دماهی شروع	دماهی پایان
A_s (°C)	A_f (°C)	M_f (°C)	M_s (°C)				
66.4	75.9	-0.5	5.6				

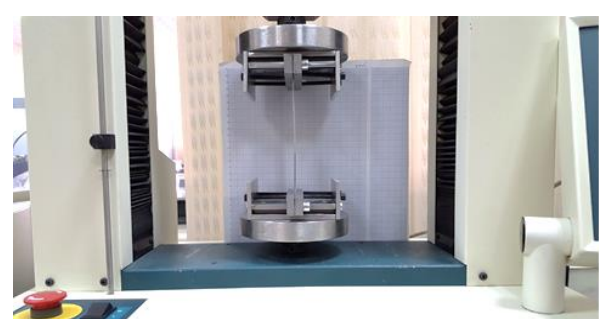


Fig. 1 Buckling test machine

شکل 1 دستگاه آزمون کمانش

¹ Epon

² Differential Scanning Calorimetry

³ Edgewise

شرایط محیطی، با استفاده از کامپیوتر دستگاه، سرعت پیشروی فک بالایی (فک متحرک) 0.05 mm/min تعیین شد که به صورت فشاری و رو به پایین پس از فشردن دکمه شروع دستگاه، حرکت می کند. از طرفی از آنجا که خیز ایجاد شده در نمونه ها برای به دست آوردن نمودار نیرو-جابجایی خارج از صفحه، ضروری است، با گذاشتن یک صفحه میلیمتری در پشت نمونه به جهت اندازه گیری خیز در هر لحظه، از نمونه ها در تمامی طول آزمایش، فیلم برداری شد.

لازم به ذکر است، برای بدست آوردن مقدار خیز در بازه زمانی مورد نظر، باید این زمان را با توجه به مقدار معلوم پیشروی دستگاه و با در نظر گرفتن سرعت پیشروی، طبق رابطه (1) بدست آورد.

$$t = \frac{x}{v} \quad (1)$$

در رابطه فوق، x پیشروی دستگاه (mm)، v سرعت پیشروی (mm/min) و t زمان پیشروی (s) می باشد. برای بدست آوردن زمان برحسب ثانیه، زمان حاصل در 60 ضرب شد.

با توجه به این که دستگاه مورد استفاده، نمودار نیروی فشاری را برحسب جابجایی (پیشروی فک بالایی) می دهد، در بررسی های نموداری، با استفاده از این نمودار و فیلم هایی که از نمونه ها گرفته شد، متحنی های نیرو-جابجایی خارج از صفحه، به ترتیب مراحل زیر بدست آمد:

1- تصویربرداری از فیلم نمونه مورد نظر در بازه زمانی و مقدار پیشروی معین رابطه (1)، در نرم افزار اکسل¹ و در نهایت، استخراج نمودار نیرو-جابجایی خارج از صفحه.

2- وارد کردن تصاویر در نرم افزار کتاب² جهت اندازه گیری خیز (جابجایی خارج از صفحه) نمونه (شکل 5).

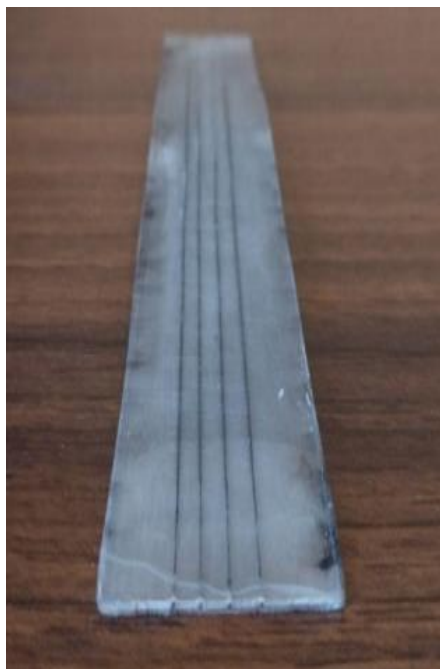


Fig. 4 Fiber metal laminate reinforced shape memory alloy wire specimen

شکل 4 نمونه چند لایه های الیاف-فلز تقویت شده با سیم آلیاژ حافظه دار

¹ Excell

² Catia

نسبت به تار خنثی نمونه ها ساخته شدند (شکل 3-a و 3-b). همچنین جهت بررسی اثر پیش کرنش های مختلف سیم های حافظه دار، نمونه هایی با تعداد

ثابت 6 سیم با پیش کرنش های 1، 2 و 3 درصد آماده شدند (شکل 3-c).

ایعاد کلیه نمونه ها طبق استاندارد آزمون کمانش، $170 \times 23 \text{ mm}^2$ است.

مشخصات نمونه ها به شرح زیر می باشد:

- نمونه 4 سیم با 3% پیش کرنش نزدیک به تار خنثی

- نمونه 4 سیم با 3% پیش کرنش دور از تار خنثی

- نمونه 6 سیم با 1% پیش کرنش

- نمونه 6 سیم با 2% پیش کرنش

- نمونه 6 سیم با 3% پیش کرنش

تمامی نمونه های 6 سیم، شامل 2 لایه فلز و 1 لایه کامپوزیت و نمونه های 4

سیم، شامل 3 لایه فلز و 2 لایه کامپوزیت هستند. افزایش تعداد لایه های فلز و کامپوزیت در نمونه های 4 سیم، به دلیل مقایسه اثر قرار گیری سیم ها در لایه های دور و نزدیک نسبت به تار خنثی است.

به دلیل جهت بارگذاری کمانشی در راستای الیاف 90 درجه بخش کامپوزیتی و در نهایت به منظور تقویت استحکام نمونه ها و تاخیر در لایه لایه شدگی، سیم های حافظه دار در راستای بارگذاری قرار گرفتند. این سیم ها با فاصله 4 میلی متر از یکدیگر در نمونه ها تعییه شدند (شکل 4).

5-2- شرایط آزمون کمانش

در آزمون کمانش پس از قرار دادن نمونه درون نگهدارنده دستگاه فشار، در

Aluminum	Aluminum
Glass fibers/epoxy0°	Glass fibers/epoxy0°
Glass fibers/epoxy90°	Glass fibers/epoxy90°
Glass fibers/epoxy90°	Glass fibers/epoxy90°
Glass fibers/epoxy0°	Glass fibers/epoxy0°
Aluminum	Aluminum
Glass fibers/epoxy0°	Glass fibers/epoxy0°
Shape memory alloy	Shape memory alloy
Glass fibers/epoxy90°	Glass fibers/epoxy90°
Glass fibers/epoxy90°	Glass fibers/epoxy90°
Shape memory alloy	Shape memory alloy
Glass fibers/epoxy0°	Glass fibers/epoxy0°
Aluminum	Aluminum

(b)

(a)

Aluminum
Glass fibers/epoxy0°
Shape memory alloy
Glass fibers/epoxy90°
Glass fibers/epoxy90°
Glass fibers/epoxy0°
Aluminum

(c)

Fig. 3 Wrapping shape memory alloy wire in fiber metal laminate, (a) far from neutral axis, (b) near to neutral axis, (c) for pre-strain effect

شکل 3 نحوه قرار گیری سیم های آلیاژ حافظه دار در چند لایه های الیاف-فلز، (a) دور از تار خنثی، (b) نزدیک به تار خنثی، (c) جهت بررسی تأثیر پیش کرنش

نمونه های ۱، ۲ و ۳ درصد پیش کرنش آمده است. همان طور که در شکل ۶ مشهود است، نیروی بحرانی کمانشی در نمونه ۱% پیش کرنش برابر با $N = 0.837$ kN، در نمونه ۲% پیش کرنش، برابر 0.975 kN و همین طور در نمونه ۳% پیش کرنش سیم، معادل 1.046 kN است. این نتایج حاکی از آن است که با توجه به روند افزایش پیش کرنش اعمالی بر روی سیم ها، بار بحرانی متحمل شده توسط نمونه ها در پیش کرنش ۳% بیشتر از ۲% و در نهایت ۱۵ می باشد. همچنین با توجه به نمودار شکل ۷، می توان گفت که نمونه ۱% پیش کرنش در بار $kN = 0.639$ وارد اولین ناپایداری خود می شود. همچنین نمونه ۲% پیش کرنش، در بار اعمالی $kN = 0.729$ و نمونه ۳% پیش کرنش در بار $kN = 1.013$ وارد اولین لحظه از ناپایداری خود می شوند. این موضوع نشان می دهد که افزایش پیش کرنش در نمونه ها سبب می شود تا بار کمانش برای ورود به ناپایداری دیرتر روی دهد.

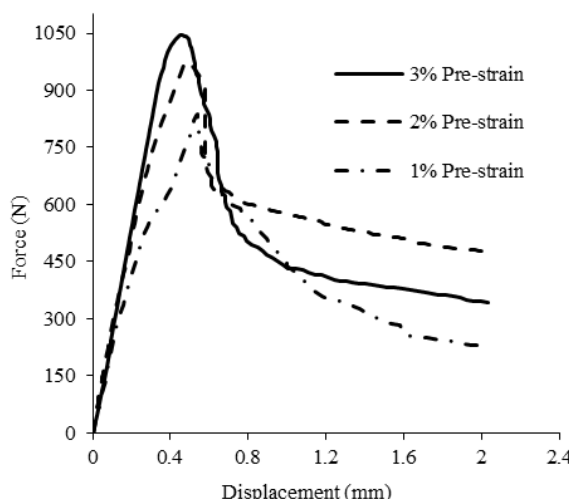


Fig. 6 Force-Displacement curves of FMLs reinforced shape memory alloy wire with 1, 2 and 3% of pre-strain

شکل ۶ منحنی نیرو-جابجایی چندلایه های الیاف-فلز تقویت شده با سیم آلیاژ حافظه دار با ۱، ۲ و ۳ درصد پیش کرنش

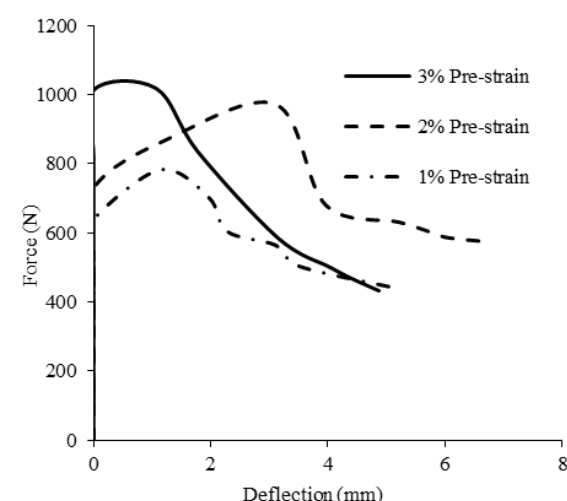


Fig. 7 Maximum deflection created from neutral axis of FMLs reinforced shape memory alloy wire with 1, 2 and 3% of pre-strain

شکل ۷ بیشینه خیز ایجاد شده از تار خنثی چند لایه های الیاف-فلز تقویت شده با سیم آلیاژ حافظه دار با ۱، ۲ و ۳ درصد پیش کرنش

-3- وارد کردن مقادیر خیز (بر حسب mm) متناظر با زمان به دست آمده از رابطه (1)، در نرم افزار اکسل^۱ و در نهایت، استخراج نمودار نیرو-جابجایی خارج از صفحه.

از طرفی برای اندازه گیری مقادیر خیز، از فیلم نمونه در بازه های زمانی یکسان، از لحظه شروع آزمون، عکس گرفته شد و این مقادیر در مرکز نمونه و از فاصله محور مرکزی، توسط نرم افزار کتیا، اندازه گیری شد (شکل ۵). همان طور که در شکل ۵ پیداست، به عنوان مثال برای اندازه گیری جابجایی خارج از صفحه ای نمونه، ابتدا محورهای مرکزی در لحظه قبل از شروع تست، ترسیم شده و سپس در لحظه اعمال بار و ایجاد خیز، خیز در نقطه مرکزی نمونه، اندازه گیری شد.

3- نتایج و بحث

3-1 اثر افزایش پیش کرنش سیم آلیاژ حافظه دار در چند لایه های الیاف-فلز

به منظور انتخاب پیش کرنش های مختلف، تست کشش سیم آلیاژ حافظه دار در دمای مارتزیت (0.5°C) انجام شد و با توجه به این که کرنش تسلیم سیم، در مقدار 3.18% رخ داد، کرنش های پایین تر از این میزان (۱، ۲ و ۳ درصد) در نظر گرفته شدند. شکل ۶ نمودار نیرو بر حسب جابجایی طولی و شکل ۷ نمودار نیرو-جابجایی خارج از صفحه برای این سه نمونه را نشان می دهد. همچنین در جدول ۲ مقایسه و بررسی نمودارهای شکل های ۶ و ۷، مقادیر بار ویژه، کمانش، اختلاف درصد بارهای کمانشی و بحرانی میان

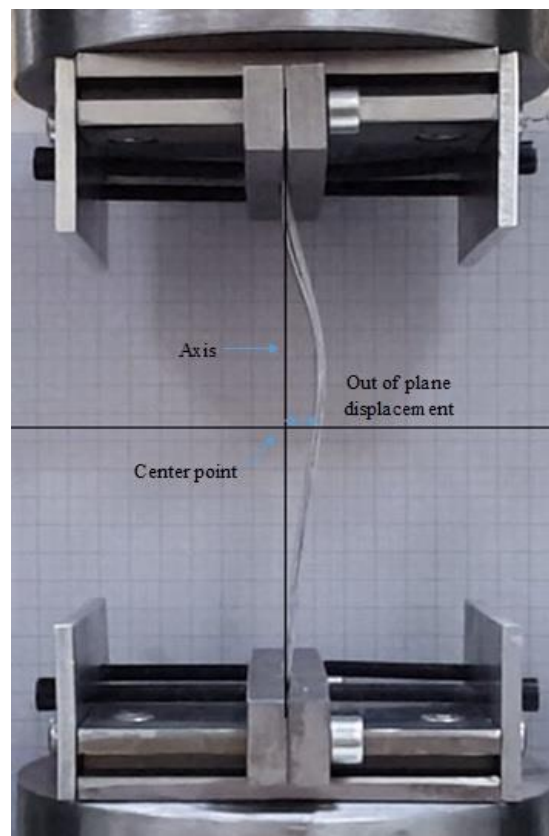


Fig. 5 Maximum deflection from neutral axis of FML specimen reinforced shape memory alloy wire in buckling test

شکل ۵ بیشینه خیز ایجاد شده از تار خنثی نمونه چند لایه الیاف-فلز تقویت شده با سیم آلیاژ حافظه دار در آزمون کمانش

¹ Excell

جدول 2 مقایسه مقدادیر بدست آمده ای بار بحرانی، بار ویژه و بار کمانش چند لایه های الیاف-فلز تقویت شده با سیم آلیاژ حافظه دار با ۱، ۲ و ۳ درصد پیش کرنش

Table 2 The comparison value resulted of critical load, specific load and buckling load between FMLS reinforced shape memory alloy wire with 1, 2 and 3% of pre-strain

نمونه	جرم (kg)	بار بحرانی (kN)	بار ویژه (kN/kg)	بار کمانش (kN)	بهرانی نسبت به ۱%	درصد اختلاف بار	درصد اختلاف بار	کمانش نسبت به ۱% پیش کرنش
1% پیش کرنش	0.0234	0.837	35.76	0.639	-----	-----	-----	-----
2% پیش کرنش	0.0239	0.975	40.79	0.729	14.06%	16.48%	14.06%	14.08%
3% پیش کرنش	0.0235	1.046	44.51	1.013	58.52%	24.97%	24.46%	14.08%

گفت، که قرار دادن سیم در موقعیت دور از تار خنثی نمونه، سبب می شود تا نمونه دیرتر وارد اولین رفتار ناپایداری خود شود و در نتیجه با مشاهده ای این اختلاف زیاد در بار اعمالی اولین لحظه ناپایداری، نمونه با موقعیت سیم دور از تار خنثی، خواص مکانیکی بسیار مطلوبتری را دارد.

در جدول 3، مقایسه و بررسی نمودارهای شکل های 8 و 9، مقدادیر بار ویژه، کمانش و اختلاف درصد بارهای کمانشی و بحرانی میان نمونه های با موقعیت سیم دور و نزدیک به تار خنثی ارائه شده است. مطابق با جدول 3 نمونه های با موقعیت سیم دور از تار خنثی در مقایسه با نمونه های با موقعیت سیم نزدیک به تار خنثی، به ترتیب دارای درصد اختلاف بار بحرانی، بار ویژه و بار کمانش معادل 12.15% و 12.22% و 204.98% می باشد.

نتایج حاصل از جداول 2 و 3، حاکی از آن است که دور بودن سیم ها از مرکز به طوری جدی منجر به پایداری زیاد سازه و ناپایداری هایی کمتر از نمونه های متناظر آن که سیم ها در آن، نزدیک به محل تار خنثی نمونه تعییه شده است، شده و خواص کمانش را بهبود می بخشد. در شکل های 10 تا 12 به ترتیب بار بحرانی و بار کمانشی در پیش کرنش ها و موقعیت های مختلف سیم نشان داده شده است. در شکل 10-a و 10-b، نمونه 3% پیش کرنش سیم kN آلیاژ حافظه دار، به ترتیب دارای بار بحرانی و بار کمانشی 1.046 kN و 1.013 می باشد که نسبت به نمونه 1% پیش کرنش، دارای اختلاف 24.97% و 58.52% می باشد. در شکل های 11 و 12 نیز بار بحرانی و بار کمانشی در نمونه ای که سیم در آن دور از تار خنثی قرار گرفت، به ترتیب 4.327 kN و 3.425 kN در نمونه ای که سیم در آن در نزدیکی تار خنثی قرار گرفت، 3.858 kN و 1.123 kN می باشد که نشان دهنده اختلاف های 12.15% و 204.98% از یکدیگر هستند.

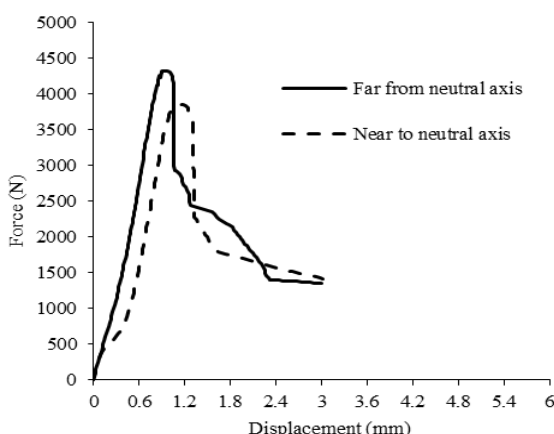


Fig. 8 Force-Displacement curve of FML specimens with far and near position of shape memory alloy wire to neutral axis

شکل 8 منحنی نیرو-جابجایی چند لایه های الیاف-فلز با موقعیت سیم آلیاژ حافظه دار دور و نزدیک به تار خنثی

ذکر این نکته لازم است که اگر پیش کرنش سیم های آلیاژ حافظه دار از حدی بیشتر افزایش یابد، فاز مارتینزیت ناشی از القای تنیش به طور کامل تشکیل نمی شود، در این صورت رفتار هیسترزیس نیز آشکار نمی شود و رفتار سیم آلیاژ حافظه دار همانند مواد الاستیک پیش کرنش یافته می باشد. این بدان معناست که اثر مشتبه سیم آلیاژ حافظه دار که ذخیره تنیش پسماند می باشد، کاهش یافته و اثر منفی سیم، یعنی ایجاد آسیب بین لایه ای و در نتیجه لایه شدگی و ترک را باعث می شود. این عوامل خود باعث کاهش نیروی بحرانی کمانشی و ورود سریعتر نمونه به ناپایداری کمانشی می شوند [13].

با توجه به نتایج جدول 2، برای نمونه 3% پیش کرنش، میزان حد تحمل بار بحرانی و بار ویژه به ترتیب افزایش 24.46% و 24.97% و 14.06% و 16.48% به ترتیب دارای افزایش 58.52% و 14.08% می باشد. این نسبت به نمونه 1% پیش کرنش، می باشد. از طرف دیگر، برای بار کمانشی در نمونه 2% پیش کرنش نسبت به 1% پیش کرنش، این میزان 14.08% بیشتر و برای نمونه 3% پیش کرنش، علاوه بر آن که حد تحمل بار بحرانی و بار ویژه بالایی را نسبت به سایرین دارد، بار کمانشی بیشتری را نیز تحمل می کند و دیرتر از سایر نمونه ها وارد ناپایداری می شود. به بیان کلی دیگر، با ایجاد پیش کرنش کششی در آلیاژ حافظه دار به این جهت که پس از قرارگیری در بستر کامپوزیت، این آلیاژ تمایل به برگشت به حالت اولیه خود را دارد، باعث می شود در حالت تنیش فشاری قرار گیرد و لذا به همین دلیل نیروی بیشتری را نسبت به حالت بدون اعمال پیش کرنش جهت رخداد کمانش تحمل نماید.

3-2- اثر موقعیت سیم آلیاژ حافظه دار در چند لایه های الیاف-فلز

برای بررسی اثر موقعیت سیم های حافظه دار، نمونه های چند لایه ای الیاف-فلز حاوی 4 سیم با 3% پیش کرنش در موقعیت سیم های دور و نزدیک به تار خنثی مورد مطالعه قرار گرفتند. نمودار نیرو-جابجایی طولی نمونه های مذکور در شکل 8 اورده شده است.

با توجه به نمودار نیرو-جابجایی طولی در شکل 8 بار بحرانی متتحمل شده توسط نمونه، با موقعیت سیم دور از تار خنثی برابر 4.327 kN و برای نمونه، با موقعیت سیم نزدیک به تار خنثی معادل 3.858 kN می باشد. نتایج نشان می دهد، نمونه با موقعیت سیم دور از تار خنثی، نسبت به نمونه با موقعیت سیم نزدیک به تار خنثی، بار بیشتری را تحمل می کند.

نمودار نیرو-جابجایی خارج از صفحه برای این دو نمونه نیز در شکل 9 آمده است. با توجه به نمودار، می توان ابراز داشت که نمونه با موقعیت سیم دور از تار خنثی در بار 4.325 kN، وارد اولین ناپایداری خود می شود. همچنین نمونه با موقعیت سیم نزدیک به تار خنثی، در بار اعمالی 1.123 kN وارد اولین لحظه از ناپایداری خود می گردد. در نتیجه می توان

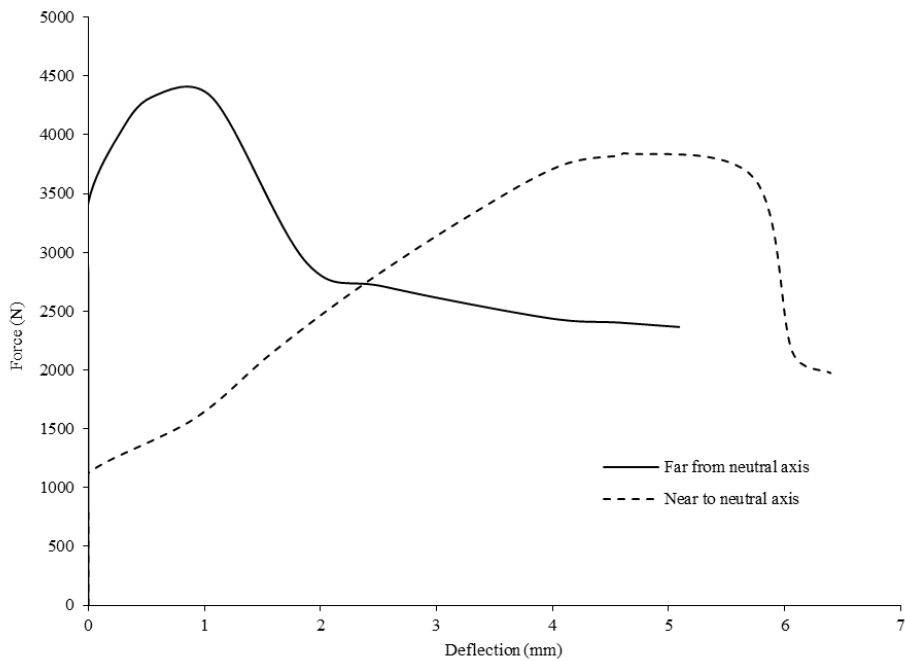


Fig. 9 Maximum deflection created from neutral axis of FMLs with far and near position of shape memory alloy wire to neutral axis

شکل ۹ بیشینه خیز ایجاد شده از تار خنثی چند لایه‌های الیاف-فلز با موقعیت سیم آلیاژ حافظه دار دور و نزدیک به تار خنثی

جدول ۳ مقایسه مقدار بدست آمده بار بحرانی، بار ویژه و بار کمانش چند لایه‌های الیاف-فلز با موقعیت سیم آلیاژ حافظه دار دور و نزدیک به تار خنثی

Table 3 The comparison value resulted of critical load, specific load and buckling load between FMLs with far and near position of shape memory alloy wire to neutral axis

موقعیت سیم در نمونه	جرم (kg)	بار بحرانی (kN)	بار ویژه (kN/kg)	بار کمانش (kN)	نسبت به نمونه نزدیک به تار خنثی	درصد اختلاف بار بحرانی	درصد اختلاف بار ویژه	کمانش نسبت به نمونه نزدیک به تار خنثی	درصد اختلاف بار بحرانی
دور از تار خنثی	0.0381	4.327	113.56	3.425	12.15%	12.22%	204.98%	نzdیک به تار خنثی	نسبت به نمونه نزدیک به تار خنثی
نزدیک به تار خنثی	0.0387	3.858	99.68	1.123	-----	-----	-----	-----	-----

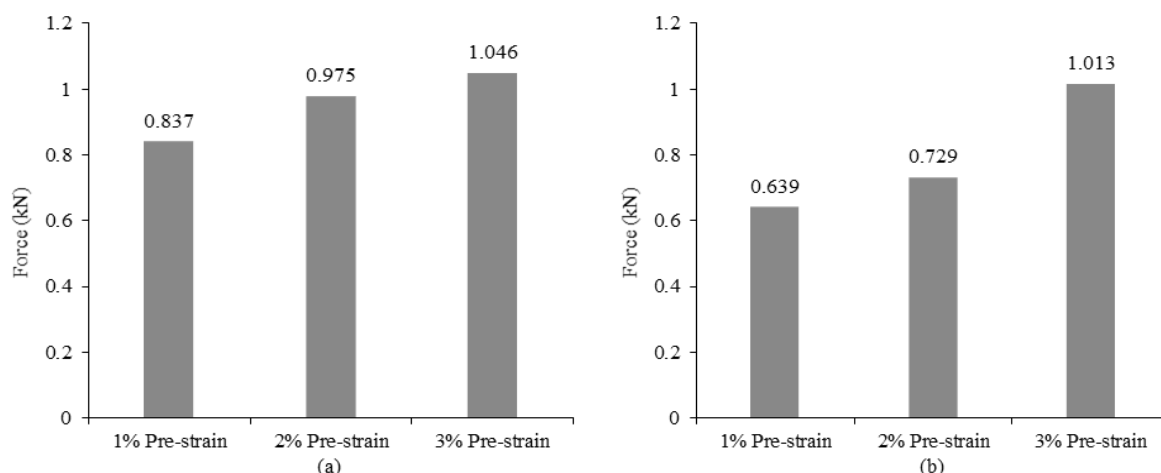


Fig. 10 Comparison chart of critical load (a) and maximum amount of deflection (b) of FMLs reinforced shape memory alloy wire with 1, 2 and 3 % pre-strain

شکل ۱۰ نمودار مقایسه ای بار بحرانی (a) و مقدار بیشینه خیز ایجاد شده از تار خنثی (b) برای چند لایه‌های الیاف-فلز تقویت شده با سیم آلیاژ حافظه دار با ۱، ۲ و ۳ درصد پیش-کرنش

الیاف-فلز شامل کامپوزیت اپوکسی-الیاف شیشه و در قسمت فلزی، آلیاژ آلمینیوم T3-2024، بررسی شد. بدین منظور برای بررسی اثر پیش-کرنش از جایگذاری ۶ سیم دارای پیش-کرنش‌های ۱، ۲ و ۳ درصد و برای بررسی اثر

در این پژوهش اثر افزایش پیش-کرنش و تغییر موقعیت سیم‌های آلیاژ تیتانیوم در بارگذاری استاتیکی فشاری روی چند لایه‌های

4- نتیجه گیری

و 24.97 درصد و همچنین مقادیر بار کمانش با اختلاف 14.08 و 58.52 درصد، نسبت به نمونه‌ی با سیم 1% پیش کرنش، سیر صعودی داشتند. این موضوع به دلیل افزایش در تنش پسمند در پیش کرنش‌های بالاتر و نتیجتاً خاصیت بازگشت‌پذیری بهتر سیم‌های حافظه دار بود. در نتیجه با افزایش پیش کرنش سیم‌های حافظه دار، مقاومت در برابر ناپایداری نمونه‌های کامپوزیت چند لایه‌ی الیاف-فلز افزایش می‌یابد.

- بار بحرانی و بار کمانش در نمونه کامپوزیت چند لایه‌ی الیاف-فلز در حالت قرار دادن سیم‌های حافظه دار در لایه‌های دور از تار خنثی در مقایسه با حالت لایه‌های نزدیک به تار خنثی، افزایشی به میزان به ترتیب 12.15 و 204.98 درصد را نشان دادند. در نتیجه به دلیل اثرگذاری مطلوب تر سیم‌های حافظه دار در نمونه‌ای که سیم دورتر از تار خنثی قرار گرفت، این نمونه مقاومت در برابر ناپایداری و حد تحمل بار بیشتری را به همراه داشت.

5- مراجع

- [1] R. Degenhardt, C. S, M. A. Arbelo, R. Zimmerman, R. Khakimova, A. Kling, Future structural stability design for composite space and airframe structures, *Thin-Walled Structures*, Vol. 81, No. 3, pp. 29-38, 2014.
- [2] J. G. Carrillo, W. J. Cantwell, Scaling effects in the tensile behavior of Fiber-Metal Laminates, *Composite Science and Technology*, Vol. 67, No. 7, pp. 1684-1693, 2007.
- [3] R. Van Rooijen, J. Sinke, T. J. De Vries, S. Van Der Zwaag, Property optimization in fiber-metal laminates, *Applied Composite Materials*, Vol. 11, No. 2, pp. 63-76, 2004.
- [4] J. J. C. Remmers, R. De. Borst., Delamination Buckling of fibre-metal Laminates, *Composites Science and Technology*, Vol. 61, No. 15, pp. 2207-2213, 2001.
- [5] J. M. Radoslaw, Z. Kolakowski, J. Bienias, P. Jakubczak, K. Majerski, Comparative study of FML profiles buckling and postbuckling behavior under axial loading, *Composite Structures*, Vol. 134, No. 1, pp. 216-225, 2015.
- [6] S. Choi, J. J. Lee, D. Ch. Seo, S. W. Choi, The active buckling control of laminated composite beams with embedded shape memory alloy wires, *Composite Structures*, Vol. 47, No. 4, pp. 679-686, 1999.
- [7] Bi. Rengui, Fu. Yiming, Y. Tian, J. Chao, Buckling and postbuckling analysis of elasto-plastic fiber metal laminates, *Acta Mechanica Solida Sinica*, Vol. 27, No. 1, pp. 73-84, 2014.
- [8] K. Shih-Yao, S. Le-Chung, K. Chen, Buckling analysis of shape memory alloy reinforced composite laminates, *Composite Structures*, Vol. 90, No. 2, pp. 188-195, 2009.
- [9] A. Baz, T. Chen, Active control of the lateral buckling of nitinol reinforced composite beams, *SPIE Proceedings*, Vol. 2427, No. 1, pp. 30-48, 1995.
- [10] J. Ro, A. Baz, Nitinol-reinforced plates: part II, Static and buckling characteristics, *Composites Engineering*, Vol. 5, No. 1, pp. 77-90, 1995.
- [11] A. Baz, L. Tampe, Active control of buckling of flexible beams, *Proceedings of the Eighth Biennial Conference on Failure Prevention and Reliability*, Montreal, pp. 211-218, 1989.
- [12] S. P. Thompson, J. Loughlan, Adaptive post-buckling response of carbon fibre composite plates employing SMA actuators, *Composites Structures*, Vol. 38, No. 4, pp. 667-678, 1997.
- [13] W. Yongdong, Low velocity impact response analysis of shape memory alloy reinforced composite beam, *Wuhan University of Technology and Materials Science Edition*, Vol. 20, No. 3, pp. 70-73, 2005.

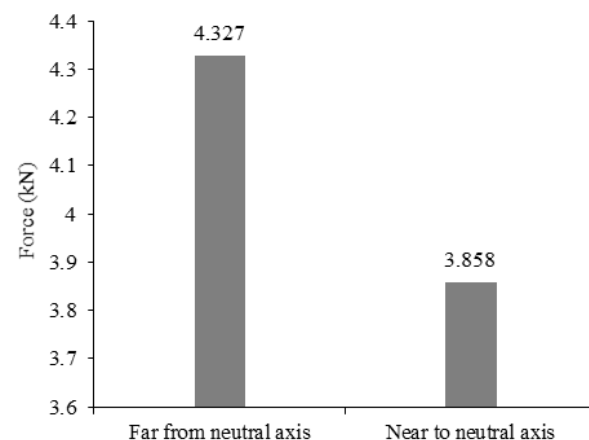


Fig. 11 Comparison chart of critical load of FML specimens with far and near position of shape memory alloy wire to neutral axis
شکل 11 نمودار مقایسه ای بار بحرانی چند لایه‌های الیاف-فلز با موقعیت با موقعیت سیم آلیاژ حافظه دار دور و نزدیک به تار خنثی

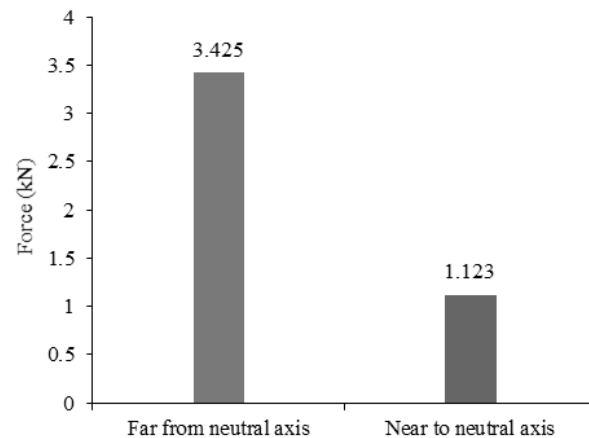


Fig. 12 maximum amount of deflection of FML specimens with far and near position of shape memory alloy wire to neutral axis
شکل 12 مقدار بیشینه خیز ایجاد شده از تار خنثی چند لایه‌های الیاف-فلز با موقعیت سیم آلیاژ حافظه دار دور و نزدیک به تار خنثی

موقعیت سیم‌ها، از جایگذاری 4 سیم با پیش کرنش ثابت 3% در مکان‌های مختلف نسبت به تار خنثی در چند لایه‌های الیاف-فلز استفاده شد. نتایج نهایی به شرح زیر هستند:
- با افزایش پیش کرنش سیم‌های حافظه دار از 2 به 3 درصد، مقادیر بار بحرانی نمونه‌های کامپوزیت چند لایه‌ی الیاف-فلز به ترتیب با اختلاف 16.48